

## МОДЕЛЬ ТУРБУЛЕНТНОСТИ $k-\varepsilon$ В ЗАДАЧЕ ПОГРАНИЧНОГО СЛОЯ НА ВРАЩАЮЩИХСЯ ТЕЛАХ

© 2012 Е.И. Куркин, В.Г. Шахов

Самарский государственный аэрокосмический университет им. академика С.П. Королева  
(национальный исследовательский университет)

Поступила в редакцию 05.04.2012

В статье использована модель турбулентности  $k-\varepsilon$  для решения задач пограничного слоя на вращающихся телах. Модель реализована в системе MATLAB и показала хорошее соответствие с результатами экспериментов Парра и Лутандера-Ридберга.

Ключевые слова:  $k-\varepsilon$  модели турбулентности, пограничный слой, вращающиеся тела.

### 1. ПОСТАНОВКА ЗАДАЧИ

Рассмотрим пограничный слой при осевом обтекании осесимметричного тела, вращающегося вокруг оси симметрии. Координата  $x$  измеряется вдоль направляющей тела вращения,  $y$  - направлена по нормали к поверхности тела,  $z$  - окружная координата (рис. 1).

Пограничный слой подчиняется уравнению неразрывности, а также уравнениям импульсов в продольном и меридиональном направлениях [2].

$$\frac{\partial V_x}{\partial x} + \frac{V_x}{R} \frac{dR}{dx} + \frac{\partial V_y}{\partial y} = 0,$$

$$V_x \frac{\partial V_x}{\partial x} - \frac{V_z^2}{R} \frac{dR}{dx} + V_y \frac{\partial V_x}{\partial y} = U \frac{dU}{dx} + \frac{1}{\rho} \frac{\partial \tau_{xy}}{\partial y}, \quad (1)$$

$$V_x \frac{\partial V_z}{\partial x} + \frac{V_x V_z}{R} \frac{dR}{dx} + V_y \frac{\partial V_z}{\partial y} = \frac{1}{\rho} \frac{\partial \tau_{zy}}{\partial y},$$

где  $V_x, V_y, V_z$  – компоненты вектора скорости жидкости,  $U(x)$  – скорость внешнего (невязкого) обтекания тела,  $R(x)$  – радиус тела вращения,  $\tau_{xy} = \mu_\Sigma \frac{\partial V_x}{\partial y}$ ,  $\tau_{zy} = \mu_\Sigma \frac{\partial V_z}{\partial y}$  – касательные напряжения между слоями жидкости. Вязкость  $\mu_\Sigma$  определяется как сумма молекулярной  $\mu$  и турбулентной  $\mu_t$  вязкостей.

Модель  $k-\varepsilon$  добавляет в систему еще два уравнения – кинетической энергии турбулентности  $K$  и диссипации турбулентности  $E$  [3]. В случае тонкого пограничного слоя несжимаем-

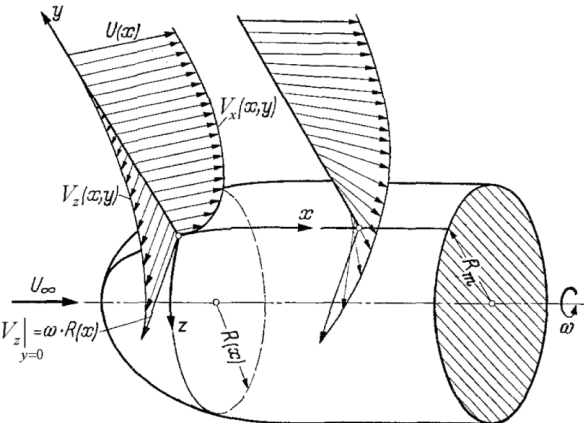


Рис. 1. Схема обтекания жидкостью вращающегося осесимметричного тела [1]

мой жидкости уравнения модели  $k-\varepsilon$  могут быть представлены в виде:

$$\begin{aligned} V_x \frac{\partial K}{\partial x} + V_y \frac{\partial K}{\partial y} &= \frac{\partial}{\partial y} \left[ \left( \nu + \frac{\varepsilon_m}{\sigma_k} \right) \frac{\partial K}{\partial y} \right] + \\ &+ \varepsilon_m \left[ \left( \frac{\partial V_x}{\partial y} \right)^2 + \left( \frac{\partial V_z}{\partial y} \right)^2 \right] - E; \\ V_x \frac{\partial E}{\partial x} + V_y \frac{\partial E}{\partial y} &= \frac{\partial}{\partial y} \left[ \left( \nu + \frac{\varepsilon_m}{\sigma_\varepsilon} \right) \frac{\partial E}{\partial y} \right] + \\ &+ c_{\varepsilon 1} \frac{E}{K} \varepsilon_m \left[ \left( \frac{\partial V_x}{\partial y} \right)^2 + \left( \frac{\partial V_z}{\partial y} \right)^2 \right] - c_{\varepsilon 2} \frac{E^2}{K}, \end{aligned} \quad (2)$$

где  $\nu = \frac{\mu}{\rho}$ ,  $\varepsilon_m = \frac{\mu_t}{\rho} = c_\mu \frac{K^2}{E}$ , параметры  $c_\mu = 0.09$ ,  $c_{\varepsilon 1} = 1.44$ ,  $c_{\varepsilon 2} = 1.92$ ,  $\sigma_k = 1$ ,  $\sigma_\varepsilon = 1.3$ .

Куркин Евгений Игоревич, аспирант кафедры аэрогидродинамики. E-mail: eugene.kurkin@mail.ru  
Шахов Валентин Гаврилович, кандидат технических наук, профессор, заведующий кафедрой аэрогидродинамики. E-mail: shakhov@ssau.ru

Прилипание жидкости к телу вращения вместе с известным законом невязкого обтекания определяет граничные условия:

$$y=0: V_x=V_y=0, V_z=R\omega;$$

$$y=y_e: V_x=U(x), V_z=0,$$

где  $y_e$  – толщина пограничного слоя.

Модель  $k-\varepsilon$  имеет вычислительные особенности на границе  $y=0$ . Поэтому граничные условия для нее задаются на внешней границе и на границе, расположенной на некотором расстоянии  $y_0$  от поверхности тела. Учитывая это, граничные условия для уравнений  $k-\varepsilon$  модели турбулентности можно записать в виде:

$$y=y_0: E_0=(\varepsilon_m)_{CS} \left[ \left( \frac{\partial V_x}{\partial y} \right)_0^2 + \left( \frac{\partial V_z}{\partial y} \right)_0^2 \right],$$

$$K_0 = \sqrt{E_0 \frac{(\varepsilon_m)_{CS}}{c_\mu}};$$

$$y=y_e: \frac{dK_e}{dx} = -\frac{E_e}{U(x)}, \quad \frac{dE_e}{dx} = -c_{\varepsilon 2} \frac{E_e^2}{K_e U(x)},$$

где  $(\varepsilon_m)_{CS} = \frac{\mu_t}{\rho}$  – турбулентная вязкость, оп-

ределяемая в пристенной области  $y \in [0, y_0]$  по какому либо альтернативному закону турбулентности, к примеру по модернизированным формулам модели Себеси-Смита [4].

## 2. МАТРИЧНЫЙ ВИД УРАВНЕНИЙ ПОГРАНИЧНОГО СЛОЯ

Вводя функцию тока  $\psi(x, y)$ , безразмерную переменную типа переменной Блазиуса

$$\eta = y\sqrt{U/vx}$$

и представляя  $\psi = R(x)\sqrt{vxU(x)}f(x, \eta)$ ,

$V_z = \omega R g(x, \eta)$ , систему (1) приводим к виду [4]:

$$u = f_\eta, \quad v = f_{\eta\eta}, \quad p = g_\eta, \quad (3)$$

$$(bv)_\eta + m_1 fv + m_2 (1-u^2) + m_3 \Omega^2 g^2 = x(uu_x - vf_x), \quad (4)$$

$$(bp)_\eta + m_1 fp - 2m_3 ug = x(ug_x - pf_x).$$

где  $f, g$  – безразмерные функции. Нижние индексы  $\eta$  и  $x$  обозначают дифференцирование по соответствующим переменным.

Уравнения турбулентности можно представить в безразмерном виде, записывая, :

$$k(x, \eta) = \frac{1}{U_e^2} K(x, y), \quad \varepsilon(x, \eta) = \frac{x}{U_e^3} E(x, y),$$

$$k_\eta = s, \quad \varepsilon_\eta = q,$$

$$(b_2 s)_\eta + m_1 fs + \varepsilon_m^+ [v^2 + \Omega^2 p^2] - \varepsilon - 2m_2 uk = x(uk_x - sf_x),$$

$$(b_3 q)_\eta + m_1 fq + c_{\varepsilon 1} \frac{\varepsilon}{k} \varepsilon_m^+ [v^2 + \Omega^2 p^2] - c_{\varepsilon 2} \frac{\varepsilon^2}{k} - (3m_2 - 1)u\varepsilon = x(u\varepsilon_x - qf_x).$$

Граничные условия системы примут вид:  
 $\eta=0: f=0, u=0, g=1;$

$$\eta=\eta_0: \varepsilon = (\varepsilon_m^+)_{CS} [v^2 + \Omega^2 p^2],$$

$$k = \sqrt{\frac{\varepsilon \cdot (\varepsilon_m^+)_{CS}}{\text{Re}_x c_\mu}}; \quad (5)$$

$$\eta=\eta_e: u=1, \quad g=0, \quad x \frac{\partial k}{\partial x} + \varepsilon + 2m_2 k = 0, \\ x \frac{\partial \varepsilon}{\partial x} + c_{\varepsilon 2} \frac{\varepsilon^2}{k} + (3m_2 - 1)\varepsilon = 0.$$

В этих уравнениях введены обозначения:

$$b = 1 + \varepsilon_m^+, \quad \Omega = \frac{\omega R}{U}, \quad m_2 = \frac{U'}{U} x, \quad m_3 = \frac{R'}{R} x,$$

$m_1 = m_3 + \frac{m_2 + 1}{2}$ ,  $\text{Re}_x = \frac{Ux}{\nu}$ , безразмерная турбулентная вязкость  $\varepsilon_m^+$  в пристенной области вычисляется по алгебраическим соотношениям

$$\varepsilon_m^+|_{\eta < \eta_0} = (\varepsilon_m^+)_{CS} = \frac{(\varepsilon_m)_{CS}}{\nu}, \quad \text{а при } \eta > \eta_0 \text{ используется соотношение модели } k-\varepsilon: \\ \varepsilon_m^+ = c_\mu \text{Re}_x \frac{k^2}{\varepsilon}.$$

Разделение пограничного слоя на пристенную область, в которой турбулентная вязкость описывается алгебраической моделью, и область, где реализуется  $k-\varepsilon$  модель турбулентности, удобно проводить, вводя дополнительную переменную, характеризующую коэффициент сопротивления трения на стенке. Такой подход, к примеру, предложен Себеси [3]. Границу  $\eta_0$  выберем исходя из постоянства вели-

чины  $y_0^+ = \frac{y_0 u_\tau}{\nu} = 50$ , где  $u_\tau = w_0 U(x)$ . Для определения  $\eta_0$  важно значение  $w$  на стенке твердого тела ( $w_0$ ), остальные значения не рассматриваются, а производная  $w$  по толщине пограничного слоя считается равной 0 ( $w_\eta = 0$ ). Величина  $w_0$  может быть добавлена в список

переменных модели в виде  $w_0 = \frac{\sqrt[4]{v_0^2 + \Omega^2 p_0^2}}{\text{Re}_x^{1/4}}$ , а

граница  $\eta_0$  в таком случае рассчитывается как

$$\eta_0 = y_0^+ \frac{1}{w_0 \sqrt{\text{Re}_x}}.$$

Система уравнений в частных производных решается методом сеток с использованием конечно-разностной схемы “прямоугольник”. Получившиеся нелинейные уравнения линеаризуются по Ньютону [5]. Следующая итерация переменных  $f, u, v, g, p, k, s, \varepsilon, q, w$  находится в виде:  $f_j^{i+1} = f_j^i + \delta f_j^i$ .

Итоговую систему линейных алгебраических уравнений представим в матричном виде:

$$\mathbf{A}\boldsymbol{\delta} = \mathbf{r}. \quad (7)$$

Матрица коэффициентов системы (7) имеет блочную трехдиагональную структуру:

$$\mathbf{A} = \begin{bmatrix} \mathbf{A}_0 & \mathbf{C}_0 & & & \\ \mathbf{B}_1 & \mathbf{A}_1 & \mathbf{C}_1 & & \\ & \ddots & \ddots & \ddots & \\ & & \mathbf{B}_j & \mathbf{A}_j & \mathbf{C}_j \\ & & & \ddots & \ddots \\ & & & & \mathbf{B}_{J-1} & \mathbf{A}_{J-1} & \mathbf{C}_{J-1} \\ & & & & \mathbf{B}_J & \mathbf{A}_J & \end{bmatrix}, \quad \boldsymbol{\delta} = \begin{bmatrix} \boldsymbol{\delta}_0 \\ \boldsymbol{\delta}_1 \\ \vdots \\ \boldsymbol{\delta}_j \\ \vdots \\ \boldsymbol{\delta}_{J-1} \\ \boldsymbol{\delta}_J \end{bmatrix}, \quad \mathbf{r} = \begin{bmatrix} \mathbf{r}_0 \\ \mathbf{r}_1 \\ \vdots \\ \mathbf{r}_j \\ \vdots \\ \mathbf{r}_{J-1} \\ \mathbf{r}_J \end{bmatrix}.$$

Векторы переменных

$$\boldsymbol{\delta}_j = [\delta f_j \ \delta u_j \ \delta v_j \ \delta g_j \ \delta p_j \ \delta k_j \ \delta s_j \ \delta \varepsilon_j \ \delta q_j \ \delta w_j]^T, \quad j = 0, \dots, J.$$

Блоки  $\mathbf{A}_j, \mathbf{B}_j, \mathbf{C}_j$  – матрицы размером  $10 \times 10$ , блоки  $\mathbf{r}_j$  – матрицы  $10 \times 1$ . Матрицы разрежены. Значения их ненулевых элементов приведены в Приложении.

Для начала работы итерационного метода приближений требуется задания начальных профилей используемых переменных. Начальные профили  $f, u, v, g, p$  могут быть определены как начальные профили для ламинарного течения [4]. Профили же  $k, s, \varepsilon, q$  можно задать следующим образом:

$$k = \frac{(\varepsilon_m^+)_\text{CS}}{a_1 \sqrt{\text{Re}_x}} \sqrt{v^2 + \Omega^2 p^2},$$

$$\varepsilon = c_\mu (\varepsilon_m^+)_\text{CS} \frac{v^2 + \Omega^2 p^2}{a_1^2}, \quad s = k_\eta, \quad q = \varepsilon_\eta.$$

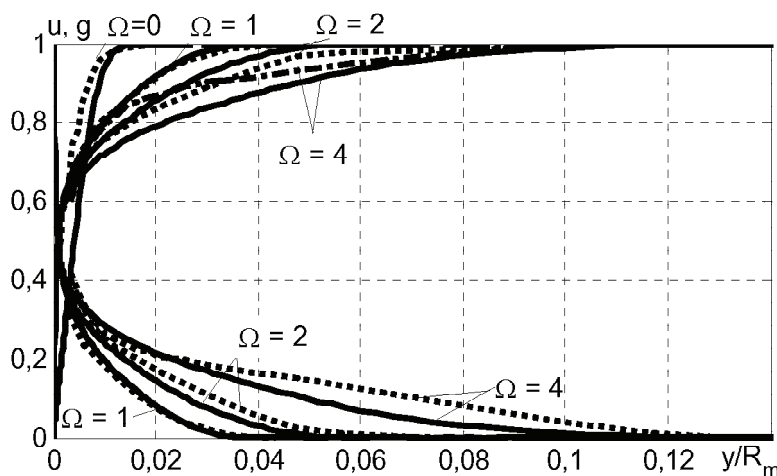
### 3. ПРИМЕРЫ РАСЧЕТА И СРАВНЕНИЕ С ЭКСПЕРИМЕНТАЛЬНЫМИ ДАННЫМИ

Реализация предложенной модели проведена в системе MATLAB в модернизированной программе Vertel.

Результаты расчета для тела Парра [1] при  $\Omega = 1, \dots, 4$  и  $\text{Re} = 3 \cdot 10^5 \dots 9 \cdot 10^5$  представлены на рис. 2, 3. Сравнение рассчитанных профилей пограничного слоя с данными эксперимента [1] показывает хорошее соответствие.

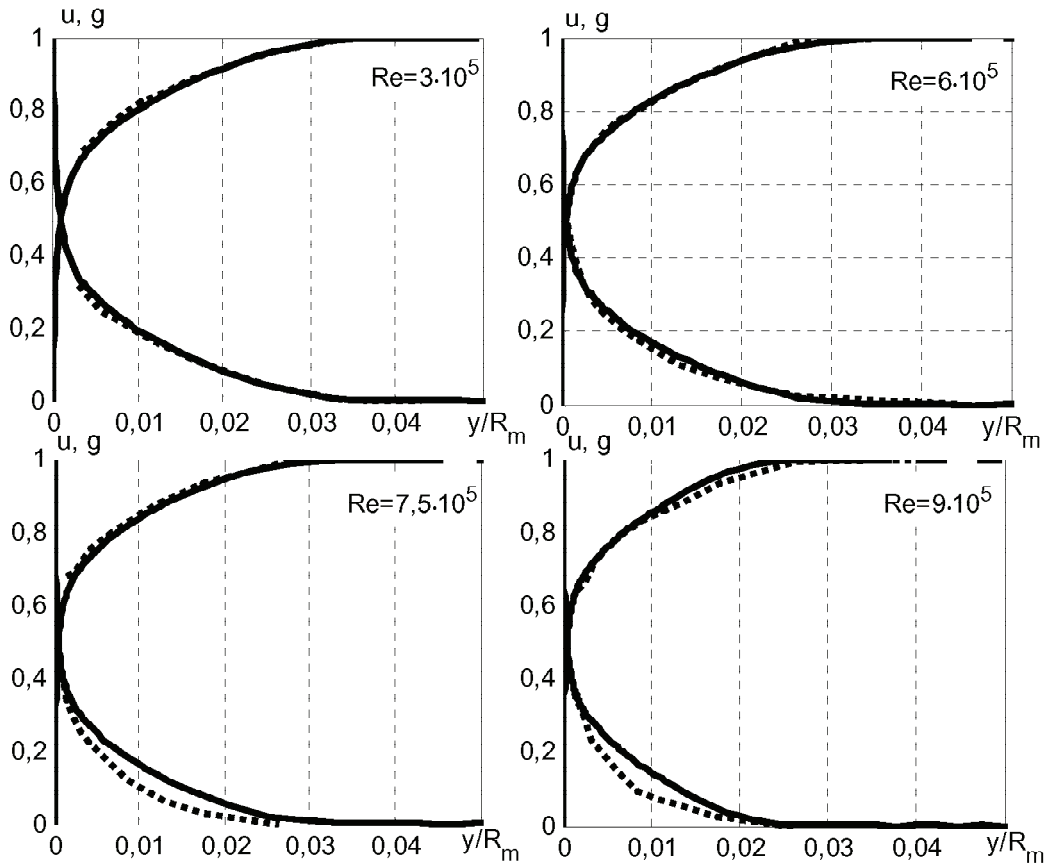
Сравнение толщины вытеснения импульса

$$\theta_x = \int_0^{y_e} u(1-u) dy \quad \text{на рис. 4 и коэффициента монтируемости}$$

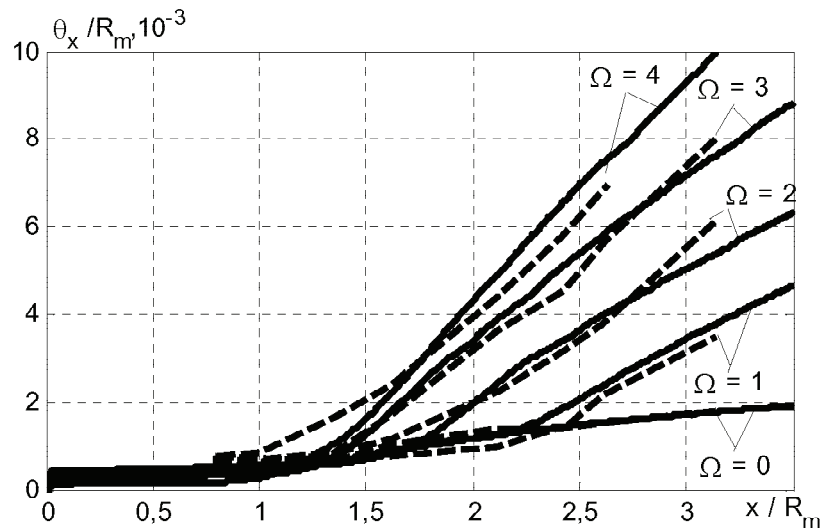


**Рис. 2.** Сравнение безразмерных профилей меридиональной и окружной компонент скорости пограничного слоя при различных скоростях вращения  $\Omega$ ,  $\text{Re} = 3 \cdot 10^5$ ,  $x / R_m = 3,1$ .

Сплошная линия – расчеты, пунктир – эксперимент Парра [1]



**Рис. 3.** Сравнение безразмерных профилей меридиональной  $u$  и окружной  $g$  компонент скорости пограничного слоя при различных числах Рейнольдса,  $\Omega = 1$ ,  $x / R_m = 3,1$ .  
Сплошная линия – расчеты, пунктир – эксперимент Парра [1]



**Рис. 4.** Сравнение толщины вытеснения импульса в меридиональном направлении,  $Re = 3 \cdot 10^5$ ,  $x / R_m = 3,1$ . Сплошная линия – расчеты, пунктир – эксперимент Парра [1]

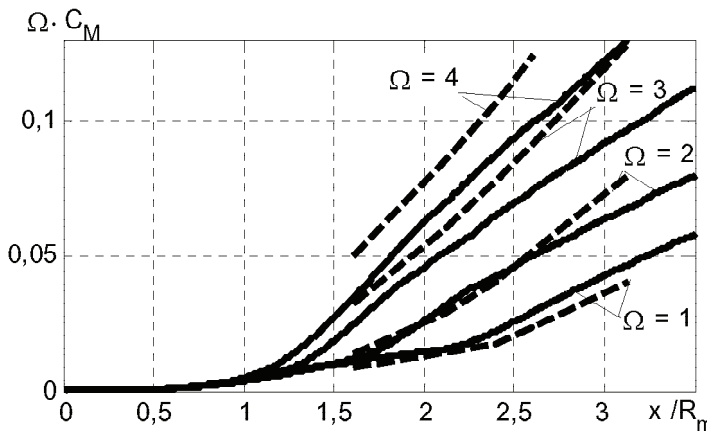
мента силы трения в окружном направлении

$$C_M = \frac{M}{\frac{1}{2} \rho \Omega^2 R_m^5}$$

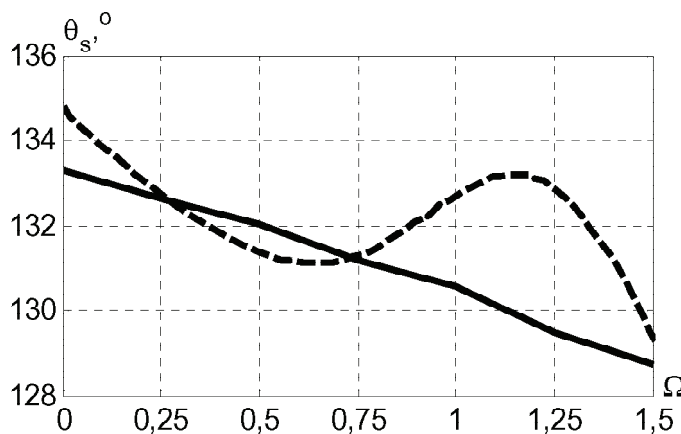
на рис. 5 также показывают хо-

рошее соответствие расчета и результатов эксперимента.

Хорошее соответствие результатов эксперимента Лутандера-Ридберга [2] по исследованию положения точки отрыва потока на вращающемся в осевом направлении шаре при  $Re = 1,6 \cdot 10^6$  с результатами моделирования (рис. 6) подтверждает возможность использования описанной модели и ее программной реализации в системе



**Рис. 5.** Сравнение коэффициента момента трения в окружном направлении,  $Re = 3 \cdot 10^5$ .  
Сплошная линия – расчеты, пунктир – эксперимент Парра [1]



**Рис. 6.** Сравнение положения точки отрыва потока на вращающемся шаре:  
сплошная линия – расчет, пунктир – эксперимент Лутандера-Ридберга [2]

MATLAB для нахождения точек отрыва потока в задачах вращающихся осесимметричных тел в осевом потоке.

#### 4. ВЫВОДЫ

Модель турбулентности  $k - \varepsilon$  представлена в форме, предназначенной для описания осесимметричного пограничного слоя на вращающихся телах, и реализована в системе MATLAB. Сравнение результатов расчета по этой модели с данными экспериментов Парра и Лутандера-Ридберга показывает хорошее соответствие, что позволяет использовать модель турбулентности для решения задач пограничного слоя на вращающихся телах, в том числе до точки отрыва потока.

#### ПРИЛОЖЕНИЕ. КОЭФФИЦИЕНТЫ ЛИНЕАРИЗОВАННЫХ УРАВНЕНИЙ ТУРБУЛЕНТНОСТИ

Коэффициенты зависят от значения координаты  $\eta_j$ , определяющей положение точки сетки на толщине пограничного слоя.

Элементы матриц  $\mathbf{A}_0$ ,  $\mathbf{C}_0$  и  $\mathbf{r}_0$ , определим из условий на поверхности тела вращения:

$$\begin{aligned} \mathbf{A}_0^{1,1} &= \mathbf{A}_0^{2,2} = \mathbf{A}_0^{3,4} = -\mathbf{A}_0^{5,2} = -\mathbf{A}_0^{6,4} = -\mathbf{A}_0^{7,6} = \\ &= -\mathbf{A}_0^{8,7} = -\mathbf{A}_0^{9,8} = -\mathbf{A}_0^{10,9} = 1, \end{aligned}$$

$$\mathbf{A}_0^{5,3} = \mathbf{A}_0^{5,3} = -h_1/2, \quad \mathbf{A}_0^{4,3} = 2v_0, \quad \mathbf{A}_0^{4,5} = 2\Omega^2 p_0,$$

$$\mathbf{A}_0^{4,5} = -4 \operatorname{Re}_x w_0^3.$$

$$\mathbf{C}_0^{5,2} = \mathbf{C}_0^{6,4} = \mathbf{C}_0^{7,6} = \mathbf{C}_0^{8,7} = \mathbf{C}_0^{9,8} = \mathbf{C}_0^{10,9} = 1,$$

$$\mathbf{C}_0^{5,3} = \mathbf{C}_0^{6,5} = -h_1/2.$$

$$r_0^4 = \operatorname{Re}_x w_0^4 - v_0^2 - \Omega^2 p_0^2, \quad r_0^5 = (r_4)_0, \quad r_0^6 = (r_5)_0.$$

Уравнения импульсов задаются одинаково при всех  $j = 1, \dots, J$ , поэтому первые 4 строки матриц  $\mathbf{A}_j$ ,  $\mathbf{B}_j$ ,  $\mathbf{C}_j$  и  $\mathbf{r}_j$  будут одинаковы во всех областях пограничного слоя:

$$\mathbf{A}_j^{1,10} = \mathbf{A}_j^{2,1} = 1, \quad \mathbf{A}_j^{2,2} = -h_j/2, \quad \mathbf{A}_j^{3,1} = (s_3)_j,$$

$$\mathbf{A}_j^{3,2} = (s_5)_j, \quad \mathbf{A}_j^{3,3} = (s_1)_j, \quad \mathbf{A}_j^{3,4} = (s_7)_j,$$

$$\mathbf{A}_j^{4,1} = (\beta_3)_j, \quad \mathbf{A}_j^{4,2} = (\beta_5)_j, \quad \mathbf{A}_j^{4,3} = (\beta_9)_j,$$

$$\mathbf{A}_j^{4,4} = (\beta_7)_j, \quad \mathbf{A}_j^{4,5} = (\beta_1)_j, \quad \mathbf{B}_j^{1,10} = \mathbf{B}_j^{2,1} = -1,$$

$$\mathbf{B}_j^{2,2} = -h_j / 2, \quad \mathbf{B}_j^{3,1} = (s_4)_j, \quad \mathbf{B}_j^{3,2} = (s_6)_j,$$

$$\mathbf{B}_j^{3,3} = (s_2)_j, \quad \mathbf{B}_j^{3,4} = (s_8)_j, \quad \mathbf{B}_j^{4,1} = (\beta_4)_j,$$

$$\mathbf{B}_j^{4,2} = (\beta_6)_j, \quad \mathbf{B}_j^{4,3} = (\beta_{10})_j, \quad \mathbf{B}_j^{4,4} = (\beta_8)_j,$$

$$\mathbf{B}_j^{4,5} = (\beta_2)_j. \quad \mathbf{r}_j^1 = 0, \quad \mathbf{r}_j^2 = (r_1)_j, \quad \mathbf{r}_j^3 = (r_2)_j, \\ \mathbf{r}_j^4 = (r_3)_j, \text{ первые четыре строки матриц } \mathbf{C}_j - \text{ нулевые.}$$

$(r_1), \dots, (r_5)_j$ , а также  $(s_1), \dots, (s_8)_j$ ,  $(\beta_1), \dots, (\beta_{10})_j$  соответствуют коэффициентам линеаризации уравнений импульсов в меридиональном и окружном направлениях [4].

Задание модели турбулентности в различных областях пограничного слоя приводит к определению нижних шести строк матриц  $\mathbf{A}_j, \mathbf{B}_j, \mathbf{C}_j, \mathbf{r}_j$  в каждой из областей отдельно:

- пристенная область, в которой турбулентность описывается алгебраической моделью,

$$j=1, \dots, j_0-1:$$

$$\mathbf{A}_j^{5,2} = \mathbf{A}_j^{6,4} = \mathbf{A}_j^{7,6} = \mathbf{A}_j^{8,7} = \mathbf{A}_j^{9,8} = \mathbf{A}_j^{10,9} = -1,$$

$$\mathbf{A}_j^{5,3} = \mathbf{A}_j^{6,5} = \mathbf{A}_j^{7,7} = \mathbf{A}_j^{9,9} = -h_{j+1} / 2, ,$$

$$\mathbf{C}_j^{5,3} = \mathbf{C}_j^{6,5} = \mathbf{C}_j^{7,7} = \mathbf{C}_j^{9,9} = -h_{j+1} / 2, \quad \mathbf{r}_j^5 = (r_4)_j,$$

$$\mathbf{C}_j^{5,2} = \mathbf{C}_j^{6,4} = \mathbf{C}_j^{7,6} = \mathbf{C}_j^{8,7} = \mathbf{C}_j^{9,8} = \mathbf{C}_j^{10,9} = 1,$$

$\mathbf{r}_j^6 = (r_5)_j$   $\mathbf{r}_j^7 = (r_{dk})_j$ ,  $\mathbf{r}_j^8 = (r_{de})_j$ , коэффициенты матриц нижних шести строк  $\mathbf{B}_j$  нулевые,

$$(r_{dk})_{j-1} = k_{j-1} - k_j + h_j s_{j-1/2},$$

$$(r_{de})_{j-1} = \varepsilon_{j-1} - \varepsilon_j + h_j q_{j-1/2}.$$

- граница между различными моделями турбулентности  $j=j_0$ . На этом слое матрица  $\mathbf{B}_{j_0}$  вычисляется по правилам пристенной области, матрица  $\mathbf{C}_{j_0}$  вычисляется по правилам для области пограничного слоя с  $k-\varepsilon$  моделью турбулентности, а 5-10 строки матриц  $\mathbf{A}_{j_0}$  и  $\mathbf{r}_{j_0}$  имеют вид:

$$\mathbf{A}_{j_0}^{7,2} = \mathbf{A}_{j_0}^{8,4} = \mathbf{A}_{j_0}^{9,6} = \mathbf{A}_{j_0}^{10,8} = -1,$$

$$\mathbf{A}_{j_0}^{7,3} = \mathbf{A}_{j_0}^{8,5} = \mathbf{A}_{j_0}^{9,7} = \mathbf{A}_{j_0}^{10,9} = -h_{j+1} / 2,$$

$$\mathbf{A}_{j_0}^{5,3} = D_1, \quad \mathbf{A}_{j_0}^{5,5} = D_2, \quad \mathbf{A}_{j_0}^{5,6} = D_3, \quad \mathbf{A}_{j_0}^{5,8} = D_4,$$

$$\mathbf{A}_{j_0}^{6,3} = D_5, \quad \mathbf{A}_{j_0}^{6,5} = D_6, \quad \mathbf{A}_{j_0}^{6,6} = D_7, \quad \mathbf{A}_{j_0}^{6,8} = D_8,$$

$$\mathbf{r}_{j_0}^5 = (r_{D1})_{j_0}, \quad \mathbf{r}_{j_0}^6 = (r_{D2})_{j_0}, \quad \mathbf{r}_{j_0}^7 = (r_4)_{j_0},$$

$$\mathbf{r}_{j_0}^8 = (r_5)_{j_0}, \quad \mathbf{r}_{j_0}^9 = (r_{dk})_{j_0}, \quad \mathbf{r}_{j_0}^{10} = (r_{de})_{j_0},$$

$$\text{где } D_1 = \varepsilon_{js} \frac{\partial}{\partial v} (\varepsilon_m^+)_{CS}, \quad D_2 = \varepsilon_{j0} \frac{\partial}{\partial p} (\varepsilon_m^+)_{CS},$$

$$D_3 = -2 \operatorname{Re}_x c_\mu k_{j_0}, \quad D_4 = (\varepsilon_m^+)_{CS},$$

$$D_5 = 2 \operatorname{Re}_x c_\mu k_{j_0}^2 v_{j_0}, \quad D_6 = 2 \operatorname{Re}_x c_\mu k_{j_0}^2 \Omega^2 p_{j_0},$$

$$D_7 = 2 \operatorname{Re}_x c_\mu k_{j_0} [v_{j_0}^2 + \Omega^2 p_{j_0}^2], \quad D_8 = -2 \varepsilon_{j_0},$$

$$(r_{D1})_{j_0} = \operatorname{Re}_x c_\mu k_{j_0}^2 - (\varepsilon_m^+)_{CS} \varepsilon_{j_0}$$

$$(r_{D2})_{j_0} = \varepsilon_{j_0}^2 - \operatorname{Re}_x c_\mu k_{j_0}^2 [v_{j_0}^2 + \Omega^2 p_{j_0}^2].$$

- область пограничного слоя с  $k-\varepsilon$  моделью турбулентности,  $j=j_0+1, \dots, J-1$ :

$$\mathbf{A}_j^{7,2} = \mathbf{A}_j^{8,4} = \mathbf{A}_j^{9,6} = \mathbf{A}_j^{10,8} = -1,$$

$$\mathbf{A}_j^{7,3} = \mathbf{A}_j^{8,5} = \mathbf{A}_j^{9,7} = \mathbf{A}_j^{10,9} = -h_{j+1} / 2;$$

$$\mathbf{A}_j^{5,k} = (\alpha_{2k-1})_j, \quad \mathbf{A}_j^{6,k} = (\varphi_{2k-1})_j,$$

$$\mathbf{B}_j^{6,k} = (\varphi_{2k})_j, \quad \mathbf{B}_j^{5,k} = (\alpha_{2k})_j, \quad k=1, \dots, 9;$$

$$\mathbf{C}_j^{7,3} = \mathbf{C}_j^{8,5} = \mathbf{C}_j^{9,7} = \mathbf{C}_j^{10,9} = -h_{j+1} / 2,$$

$$\mathbf{C}_j^{7,2} = \mathbf{C}_j^{8,4} = \mathbf{C}_j^{9,6} = \mathbf{C}_j^{10,7} = 1, \quad \mathbf{r}_j^5 = (r_K)_j,$$

$$\mathbf{r}_j^6 = (r_E)_j, \quad \mathbf{r}_j^7 = (r_4)_j, \quad \mathbf{r}_j^8 = (r_5)_j, \quad \mathbf{r}_j^9 = (r_{dk})_j,$$

$$\mathbf{r}_j^{10} = (r_{de})_j,$$

где коэффициенты уравнения  $k$ :

$$(\alpha_1)_j = \frac{m_1^n}{2} s_j^n + \frac{x^n}{2} s_{j-1/2}^n \frac{\partial}{\partial f} \left( \frac{\partial f}{\partial x} \right)_j^n,$$

$$(\alpha_2)_j = \frac{m_1^n}{2} s_{j-1}^n + \frac{x^n}{2} s_{j-1/2}^n \frac{\partial}{\partial f} \left( \frac{\partial f}{\partial x} \right)_{j-1}^n,$$

$$(\alpha_3)_j = -m_2^n k_j^n - \frac{x^n}{2} \left( \frac{\partial k}{\partial x} \right)_{j-1/2}^n,$$

$$(\alpha_4)_j = -m_2^n k_{j-1}^n - \frac{x^n}{2} \left( \frac{\partial k}{\partial x} \right)_{j-1/2}^n,$$

$$(\alpha_5)_j = \frac{1}{2} \left( \frac{\partial P}{\partial v} \right)_j^n, \quad (\alpha_6)_j = \frac{1}{2} \left( \frac{\partial P}{\partial v} \right)_{j-1}^n,$$

$$(\alpha_9)_j = \frac{1}{2} \left( \frac{\partial P}{\partial p} \right)_j^n, \quad (\alpha_{10})_j = \frac{1}{2} \left( \frac{\partial P}{\partial p} \right)_{j-1}^n,$$

$$\begin{aligned}
 (\alpha_{11})_j &= h_j^{-1} s_j^n \left( \frac{\partial b_2}{\partial k} \right)_j^n + \frac{1}{2} \left( \frac{\partial P}{\partial k} \right)_j^n - m_2^n u_j^n - \\
 &\quad - \frac{1}{2} \left( \frac{\partial Q}{\partial k} \right)_j^n - \frac{x^n}{2} u_{j-1/2}^n \frac{\partial}{\partial k} \left( \frac{\partial k}{\partial x} \right)_j^n, \quad (\varphi_3)_j = -\frac{x^n}{2} \left( \frac{\partial \varepsilon}{\partial x} \right)_{j-1/2}^n - \frac{1}{2} (3m_2^n - 1) \varepsilon_j^n, \\
 (\alpha_{12})_j &= -h_j^{-1} s_{j-1}^n \left( \frac{\partial b_2}{\partial k} \right)_{j-1}^n + \frac{1}{2} \left( \frac{\partial P}{\partial k} \right)_{j-1}^n - \\
 &\quad - m_2^n u_{j-1}^n - \frac{1}{2} \left( \frac{\partial Q}{\partial k} \right)_{j-1}^n - \frac{x^n}{2} u_{j-1/2}^n \frac{\partial}{\partial k} \left( \frac{\partial k}{\partial x} \right)_{j-1}^n, \quad (\varphi_4)_j = -\frac{x^n}{2} \left( \frac{\partial \varepsilon}{\partial x} \right)_{j-1/2}^n - \frac{1}{2} (3m_2^n - 1) \varepsilon_{j-1}^n, \\
 (\alpha_{13})_j &= h_j^{-1} (b_2)_j^n + \frac{m_1^n}{2} f_j^n + \frac{x^n}{2} \left( \frac{\partial f}{\partial x} \right)_{j-1/2}^n, \quad (\varphi_5)_j = \frac{1}{2} \left( \frac{\partial P_1}{\partial v} \right)_j^n, \quad (\varphi_6)_j = \frac{1}{2} \left( \frac{\partial P_1}{\partial v} \right)_{j-1}^n, \\
 (\alpha_{14})_j &= -h_j^{-1} (b_2)_{j-1}^n + \frac{m_1^n}{2} f_{j-1}^n + \frac{x^n}{2} \left( \frac{\partial f}{\partial x} \right)_{j-1/2}^n, \quad (\varphi_9)_j = \frac{1}{2} \left( \frac{\partial P_1}{\partial p} \right)_j^n, \quad (\varphi_{10})_j = \frac{1}{2} \left( \frac{\partial P_1}{\partial p} \right)_{j-1}^n, \\
 (\alpha_{15})_j &= h_j^{-1} s_j^n \left( \frac{\partial b_2}{\partial \varepsilon} \right)_j^n + \frac{1}{2} \left[ \left( \frac{\partial P}{\partial \varepsilon} \right)_j^n - \left( \frac{\partial Q}{\partial \varepsilon} \right)_j^n \right], \quad (\varphi_{11})_j = h_j^{-1} q_j^n \left( \frac{\partial b_3}{\partial k} \right)_j^n + \frac{1}{2} \left[ \left( \frac{\partial P_1}{\partial k} \right)_j^n - \left( \frac{\partial Q_1}{\partial k} \right)_j^n \right], \\
 (\alpha_{16})_j &= -h_j^{-1} s_{j-1}^n \left( \frac{\partial b_2}{\partial \varepsilon} \right)_{j-1}^n + \frac{1}{2} \left[ \left( \frac{\partial P}{\partial \varepsilon} \right)_{j-1}^n - \left( \frac{\partial Q}{\partial \varepsilon} \right)_{j-1}^n \right], \quad (\varphi_{12})_j = -h_j^{-1} q_{j-1}^n \left( \frac{\partial b_3}{\partial k} \right)_{j-1}^n + \frac{1}{2} \left[ \left( \frac{\partial P_1}{\partial k} \right)_{j-1}^n - \left( \frac{\partial Q_1}{\partial k} \right)_{j-1}^n \right], \\
 (\alpha_7)_j &= (\alpha_8)_j = (\alpha_{17})_j = (\alpha_{18})_j = 0, \quad (\varphi_{15})_j = h_j^{-1} q_j^n \left( \frac{\partial b_3}{\partial \varepsilon} \right)_j^n - \frac{1}{2} \left( \frac{\partial Q_1}{\partial \varepsilon} \right)_j^n - \\
 &\quad - \frac{1}{2} (3m_2^n - 1) u_j^n - \frac{x^n}{2} u_{j-1/2}^n \frac{\partial}{\partial \varepsilon} \left( \frac{\partial \varepsilon}{\partial x} \right)_j^n, \\
 (r_K)_j &= - \left[ (b_2 s)_j^n - (b_2 s)_{j-1}^n \right] h_j^{-1} - \\
 &\quad - \left[ P_{j-1/2}^n - Q_{j-1/2}^n - 2m_2^n (u k)_{j-1/2}^n + m_1^n (f s)_{j-1/2}^n \right] + \\
 &\quad + x^n \left( u_{j-1/2}^n \left( \frac{\partial k}{\partial x} \right)_{j-1/2}^n - s_{j-1/2}^n \left( \frac{\partial f}{\partial x} \right)_{j-1/2}^n \right), \quad (\varphi_{16})_j = -h_j^{-1} q_{j-1}^n \left( \frac{\partial b_3}{\partial \varepsilon} \right)_{j-1}^n - \frac{1}{2} \left( \frac{\partial Q_1}{\partial \varepsilon} \right)_{j-1}^n - \\
 &\quad - \frac{1}{2} (3m_2^n - 1) u_{j-1}^n - \frac{x^n}{2} u_{j-1/2}^n \frac{\partial}{\partial \varepsilon} \left( \frac{\partial \varepsilon}{\partial x} \right)_{j-1}^n, \\
 b_2 &= 1 + \frac{\varepsilon_m^+}{\sigma_k} = 1 + \frac{c_\mu}{\sigma_k} \operatorname{Re}_x \frac{k^2}{\varepsilon}, \quad P = c_\mu \operatorname{Re}_x \frac{k^2}{\varepsilon} [v^2 + \Omega^2 p^2], \quad (\varphi_{17})_j = h_j^{-1} (b_3)_j^n + \frac{m_1^n}{2} f_j^n + \frac{x^n}{2} \left( \frac{\partial f}{\partial x} \right)_{j-1/2}^n, \\
 Q &= \varepsilon, \quad \frac{\partial b_2}{\partial k} = \frac{c_\mu}{\sigma_k} \operatorname{Re}_x \frac{2k}{\varepsilon}, \quad \frac{\partial b_2}{\partial \varepsilon} = \frac{c_\mu}{\sigma_k} \operatorname{Re}_x \frac{-k^2}{\varepsilon^2}, \quad (\varphi_{18})_j = -h_j^{-1} (b_3)_{j-1}^n + \frac{m_1^n}{2} f_{j-1}^n + \frac{x^n}{2} \left( \frac{\partial f}{\partial x} \right)_{j-1/2}^n, \\
 \frac{\partial Q}{\partial \varepsilon} &= 1, \quad \frac{\partial P}{\partial k} = 2c_\mu \operatorname{Re}_x \frac{k}{\varepsilon} [v^2 + \Omega^2 p^2], \quad (\varphi_7)_j = (\varphi_8)_j = (\varphi_{13})_j = (\varphi_{14})_j = 0, \\
 \frac{\partial P}{\partial \varepsilon} &= c_\mu \operatorname{Re}_x \frac{-k^2}{\varepsilon^2} [v^2 + \Omega^2 p^2], \quad (r_E)_j = - \left[ (b_3 q)_j^n - (b_3 q)_{j-1}^n \right] h_j^{-1} - \left[ (P_1)_{j-1/2}^n - \right. \\
 &\quad \left. - (Q_1)_{j-1/2}^n + m_1^n (f q)_{j-1/2}^n - (3m_2^n - 1) (u \varepsilon)_{j-1/2}^n \right] + \\
 &\quad + x^n \left( u_{j-1/2}^n \left( \frac{\partial \varepsilon}{\partial x} \right)_{j-1/2}^n - q_{j-1/2}^n \left( \frac{\partial f}{\partial x} \right)_{j-1/2}^n \right), \\
 \frac{\partial P}{\partial v} &= 2c_\mu \operatorname{Re}_x \frac{k^2}{\varepsilon} v, \quad \frac{\partial P}{\partial p} = 2c_\mu \operatorname{Re}_x \frac{k^2}{\varepsilon} \Omega^2 p. \quad b_3 = 1 + \frac{\varepsilon_m^+}{\sigma_\varepsilon} = 1 + \frac{c_\mu}{\sigma_\varepsilon} \operatorname{Re}_x \frac{k^2}{\varepsilon}, \\
 &\text{уравнение } \varepsilon: \quad P_1 = c_{\varepsilon 1} c_\mu \operatorname{Re}_x k [v^2 + \Omega^2 p^2], \quad Q_1 = c_{\varepsilon 2} \frac{\varepsilon^2}{k}, \\
 (\varphi_1)_j &= \frac{m_1^n}{2} q_j^n + \frac{x^n}{2} q_{j-1/2}^n \frac{\partial}{\partial f} \left( \frac{\partial f}{\partial x} \right)_j^n, \\
 (\varphi_2)_j &= \frac{m_1^n}{2} q_{j-1}^n + \frac{x^n}{2} q_{j-1/2}^n \frac{\partial}{\partial f} \left( \frac{\partial f}{\partial x} \right)_{j-1}^n,
 \end{aligned}$$

$$\frac{\partial Q_1}{\partial \varepsilon} = 2c_{\varepsilon^2} \frac{\varepsilon}{k}, \quad \frac{\partial Q_1}{\partial k} = -c_{\varepsilon^2} \frac{\varepsilon^2}{k^2},$$

$$\frac{\partial P_1}{\partial \varepsilon} = 0, \quad \frac{\partial P_1}{\partial v} = 2c_{\varepsilon^1} c_{\mu} \operatorname{Re}_x k v,$$

$$\frac{\partial P_1}{\partial p} = 2c_{\varepsilon^1} c_{\mu} \operatorname{Re}_x k \Omega^2 p,$$

$$\frac{\partial P_1}{\partial k} = c_{\varepsilon^1} c_{\mu} \operatorname{Re}_x [v^2 + \Omega^2 p^2].$$

- внешняя граница пограничного слоя,  $j=J$ .  $\mathbf{B}_j$  в таком случае может быть вычислена по правилам для основной части пограничного слоя, матрицы же  $\mathbf{A}_j$  и  $\mathbf{r}_j$  примут вид:

$$\mathbf{A}_j^{5,k} = (\alpha_{2k-1})_j, \quad \mathbf{A}_j^{6,k} = (\varphi_{2k-1})_j, \quad k=1, \dots, 9;$$

$$\mathbf{A}_j^{7,2} = \mathbf{A}_j^{8,4} = 1, \quad \mathbf{A}_j^{9,6} = E_1, \quad \mathbf{A}_j^{9,8} = E_2, \quad \mathbf{A}_j^{10,6} = E_3,$$

$$\mathbf{A}_j^{10,8} = E_4, \quad \mathbf{r}_j^5 = (r_K)_j, \quad \mathbf{r}_j^6 = (r_E)_j, \quad \mathbf{r}_j^7 = 0,$$

$$\mathbf{r}_j^8 = 0, \quad \mathbf{r}_j^9 = (r_{E1})_j, \quad \mathbf{r}_j^{10} = (r_{E2})_j,$$

$$\text{где } E_1 = 2m_2^n + x^n \frac{\partial}{\partial k} \left( \frac{\partial k}{\partial x} \right)_j^n,$$

$$E_3 = -c_{\varepsilon^2} \frac{(\varepsilon_J^n)^2}{(k_J^n)^2}, \quad E_2 = 1,$$

$$E_4 = (3m_2^n - 1) + x^n \frac{\partial}{\partial \varepsilon} \left( \frac{\partial \varepsilon}{\partial x} \right)_j^n + c_{\varepsilon^2} \frac{2\varepsilon_J^n}{k_J^n},$$

$$(r_{E1})_j = - \left[ x^n \left( \frac{\partial k}{\partial x} \right)_j^n + \varepsilon_J^n + 2m_2^n k_J^n \right],$$

$$(r_{E2})_j = - \left[ x^n \left( \frac{\partial \varepsilon}{\partial x} \right)_j^n + c_{\varepsilon^2} \frac{(\varepsilon_J^n)^2}{k_J^n} + (3m_2^n - 1) \varepsilon_J^n \right]$$

Вычисление производных проводится по

схеме  $\left( \frac{\partial f}{\partial x} \right)^n = A_1 f^{n-2} + A_2 f^{n-1} + A_3 f^n$ , где в случае использования первого порядка  $A_1 = 0$ ,

$$A_2 = \frac{-1}{x_n - x_{n-1}}, \quad A_3 = \frac{1}{x_n - x_{n-1}}, \quad \text{в случае второго}$$

$$\text{порядка } A_1 = \frac{x_n - x_{n-1}}{(x_{n-2} - x_{n-1})(x_{n-2} - x_n)},$$

$$A_2 = \frac{x_n - x_{n-2}}{(x_{n-1} - x_{n-2})(x_{n-1} - x_n)},$$

$$A_3 = \frac{2x_n - x_{n-1} - x_{n-2}}{(x_n - x_{n-2})(x_n - x_{n-1})},$$

$$\text{причем производные вида } \left[ \frac{\partial}{\partial f} \left( \frac{\partial f}{\partial x} \right) \right]_j^n = A_3.$$

## СПИСОК ЛИТЕРАТУРЫ

1. Parr O. Untersuchungen der dreidimensionalen Grenzschicht an rotierenden Drehkörpern bei axialer Anströmung//Applied Mechanics. 1963. Vol. 32. N. 6. P. 393-413.
2. Дорфман Л.А. Гидродинамическое сопротивление и теплоотдача вращающихся тел. М.: Физматлит, 1960. 260 с.
3. Cebeci T. Analys of Turbulent Flows, Elsevier, 2004. 376 р.
4. Куркин Е.И., Шахов В.Г. Пограничный слой на вращающихся осесимметричных телах при их осевом обтекании // Вестник Санкт-Петербургского университета. 2008. Сеп. 10. Вып. 4. С. 38-49.
5. Себиси Т., Бредшоу П. Конвективный теплообмен, М.: Мир, 1987. 590 с.

## K-ε MODEL OF TURBULENCE IN THE PROBLEM OF THE BOUNDARY LAYER AT ROTATING BODIES

© 2012 E.I. Kurkin, V.G. Shakhov

Samara State Aerospace University named after Academician S.P. Korolyov  
(National Research University)

It is suggested  $k - \varepsilon$  turbulence model for solving the boundary layer on rotating bodies. The model is implemented in MATLAB and showed good agreement with experimental results of Parr and Lutander-Rydberg.

Keywords:  $k - \varepsilon$  turbulence model, boundary layer, rotating body.

Evgeni Kurkin, Postgraduate Student at the Aero-Hydrodynamics Department. E-mail: eugene.kurkin@mail.ru  
Valentin Shakhov, Candidate of Technics, Professor, Head at the Aero-Hydrodynamics Department. E-mail: shakhov@ssau.ru